



## زمین‌شناسی، کانه‌زایی و زمین‌شیمی رخداد مس روی سرخه، شمال غرب مرند، شمال غرب ایران

اسماعیل خان‌چوبان<sup>\*</sup>، علی عابدینی<sup>۱</sup>، فرهنگ علیاری<sup>۲</sup>، علی اصغر کلاغری<sup>۳</sup>، مروت فریدآزاد<sup>۴</sup>

۱- گروه زمین‌شناسی، دانشکده علوم، دانشگاه ارومیه، ارومیه، ایران

۲- گروه مهندسی معدن، دانشگاه صنعتی ارومیه، ارومیه، ایران

۳- گروه علوم زمین، دانشکده علوم طبیعی، دانشگاه تبریز، تبریز، ایران

۴- دانشکده مهندسی معدن، دانشگاه صنعتی سهند، تبریز، ایران

(دریافت مقاله: ۹۸/۶/۱۶، نسخه نهایی: ۹۸/۱۰/۱۱)

**چکیده:** کانه‌زایی مس روی منطقه سرخه در فاصله ۲۰ کیلومتری شهرستان مرند در استان آذربایجان شرقی، شمال غرب ایران واقع است. مهم‌ترین واحدهای سنگی در این منطقه شامل ماسه‌سنگ‌ها و شیل‌های سرخ رنگ وابسته به میوسن پسین هستند که توسط دایک لامپروفیری قطع شده‌اند. کانه‌زایی مس در منطقه مورد بررسی به صورت چینه‌سان با بافت‌های لایه‌ای و دانه‌پراکنده در ماسه‌سنگ‌ها و شیل‌ها و همچنین به صورت پر کننده فضاهای خالی در دایک لامپروفیری رخ داده است. کانه‌زایی در ماسه‌سنگ‌ها شامل کالکوپیریت، بورنیت، کالکوسبیت، تتراهدریت، کولولیت، مس خالص و کوپریت است. بررسی‌های نشان می‌دهند این کانه‌زایی در ارتباط با هوازدگی و شستشوی دایک لامپروفیری است. همچنین، نهشت مس در واحدهای ماسه‌سنگی در ارتباط با تله‌های مواد آلی است. فعالیت محلول‌های گرمابی، حضور مواد آلی فراوان، عملکرد فرایندهای سنگ‌زایی، وجود سدهای زمین‌شیمیایی (مواد آلی و سیلیسی شدن) و زمین ساخت فعال در منطقه نقش مهمی در این کانه‌زایی داشته‌اند.

**واژه‌های کلیدی:** کانه‌زایی مس؛ سرخه؛ لامپروفیر؛ ماسه‌سنگ؛ سنگ‌زایی؛ مواد آلی.

### مقدمه

تاکنون، پژوهش و اکتشاف چندانی در رابطه با نهشته‌های مس شرقی جای دارد. مهم‌ترین واحدهای زمین‌شناسی در این منطقه نهشته‌های سازند سرخ بالایی میوسن و مجموعه‌های آتشفسانی پلیوسن هستند. دایک لامپروفیری در مقطع کانه‌زایی شده مس در واحدهای سازند سرخ بالایی میوسن منطقه مورد بررسی تزریق شده است. با توجه به نتایج پیشین، ذخیره مس سرخه دارای ۵ لایه ماسه‌سنگی کانه‌دار است. این لایه‌ها به صورت عدسی با گسترش طولی بسیار در حد کیلومتر و با ضخامتی متغیر از چند سانتی‌متر تا ۲۰ متر گسترش یافته‌اند [۱]. سنگ‌شناسی عمده در این نشانه‌معدنی در شمال غرب ایران شامل مارن، مارن گچ و نمکدار، شیل، لای سنگ،

نهشته سرخ در ایران انجام شده است. پنهانه‌های کانه‌زایی روی سبک مس در ایران در سه ناحیه زنجان-تسوج (شمال غرب ایران)، جنوب زاگرس (جنوب غرب ایران) و ایران مرکزی شناسایی شده‌اند [۸-۱]. در حوضه روی تبریز-خوی، نشانه‌های معدنی متعددی از مس روی گزارش شده است [۱۱-۹]. این نشانه‌های معدنی در نواری به طول ۲۵۰ کیلومتر از منطقه زنجان در جنوب شرق تبریز تا روستای ایواوغلى خوی گسترش یافته‌اند. منطقه سرخه در استان آذربایجان شرقی، غرب شهرستان مرند، بین عرض‌های جغرافیائی ۲۴° ۳۸' تا

شمال و جنوب توسط دو سامانه گسلی سنوزوییک قله تالغز با سازوکار قله‌تگرد محدود شده و به صورت یک ساختار برجسته ظاهر شده‌اند [۱۵]. گسل تسوج کوه‌های میشو را در بخش شرقی به دو قسمت به نام‌های کوه‌های شرقی و غربی تقسیم کرده است (شکل ۱). در بخش شرقی این کوه‌ها، عمدۀ رسوب‌ها و فعالیت مagmaی رخنمون یافته وابسته به میوسن و پلیوسن هستند [۱۶]. مهم‌ترین واحدهای سنگی منطقه دارای رخنمون به شرح زیر هستند (شکل‌های ۱ و ۲):

(۱) واحد  $M^{sst}$ : این واحد به سن میوسن پیشین از ماسه‌سنگ‌های قرمز رنگ با میان‌لایه‌های بسیار نازکی از تبخیری‌ها (سنگ گچ و هالیت) تشکیل شده است [۱۶]. واحد یاد شده با گسترش چند کیلومتری، فراوان‌ترین و گسترده‌ترین واحد در بین رخنمون‌های سطحی منطقه محسوب می‌شود (شکل ۳ الف). لایه‌بندی در قسمت‌های قله، منظم بوده ولی در قاعده با چین‌خوردگی همراه است. در جنوب منطقه، این واحد دارای میان‌لایه‌هایی از واحد شیلی ( $M^{shl}$ ) است. واحد ماسه‌سنگ قرمز رنگ میوسن میزان اصلی کانه‌زایی مس در منطقه سرخه به شمار می‌رود.

(۲) واحد  $M^{st}$ : این واحد به سن میوسن در بخش جنوبی منطقه با رخسارهای شامل ماسه‌سنگ‌های قرمز رنگ با میان‌لایه‌های آهکی گسترش یافته است که به طور جانبی به واحد ماسه‌سنگی ( $M^{sst}$ ) تبدیل می‌شود (شکل ۳ ب).

(۳) واحد  $PLQ^V$ : این واحد شامل گدازه‌های بازی با سرشت شوشونیتی است (شکل ۳ ب). گدازه‌های توده‌ای و جریانی همراه با واحدهای آذرآواری (توف و آگلومرا) عمدۀ‌ترین برونزدهای این سنگ‌های آتش‌فشاری در منطقه هستند سنگ‌های یاد شده از سرخه تا گزارف به صورت برآمدگی‌هایی با شیب ملایم و به احتمال بسیار در راستای خط گسلی برونزد دارند. ترکیب سنگ‌شناسی این سنگ‌های آتش‌فشاری شامل تفریت، بازالت آندزیتی، لوسيت بازانیت و بازالت است. جایگاه زمین ساختی این سنگ‌ها کمان کرانه‌ای فعال قاره‌ای و کمان پس از برخورد است [۱۷].

(۴) واحد  $Q^f$ : مخروط‌افکنهای بادبزنی به سن کواترنر در شمال منطقه دیده می‌شوند. واریزه‌های سنگی سه واحد یاد شده در بالا بسیار در این واحد دیده می‌شوند.

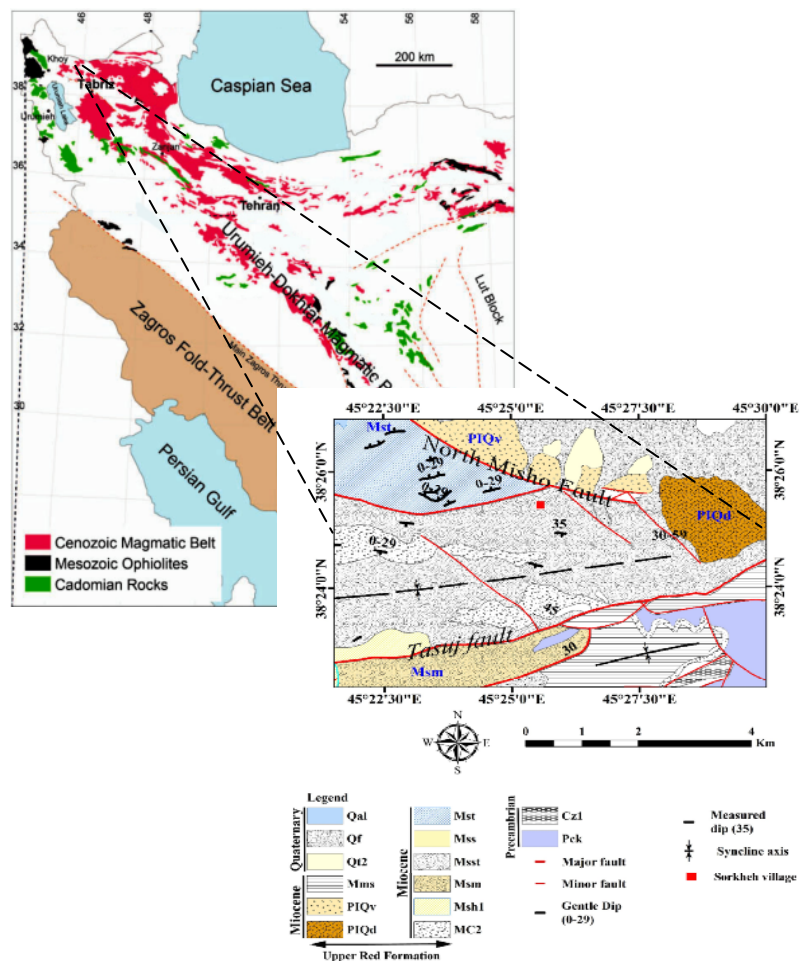
ماسه‌سنگ سرخ و کنگلومرا است. کانه‌زایی در آنها در ارتباط با تمرکز مواد آلی رخ داده است. این واحدها توسط گنبدهای داسیتی و دایک‌های با ترکیب لامپروفیری و آندزیتی میوسن پسین قطع شده‌اند [۱۱]. از آنجا که تاکنون بررسی دقیقی پیرامون کانه‌زایی مس از نظر کانی‌شناسی و زمین‌شیمی در لایه‌های ماسه‌سنگی (لایه‌های سرخ) منطقه سرخه انجام نشده است، در این پژوهش، موارد یاد شده در این ماسه‌سنگ‌ها بررسی گردید. افزون بر این، ارتباط واحدهای ماسه‌سنگی با دایک لامپروفیری تزریق شده در منطقه از نظر زایشی نیز بررسی شد.

### روش بررسی

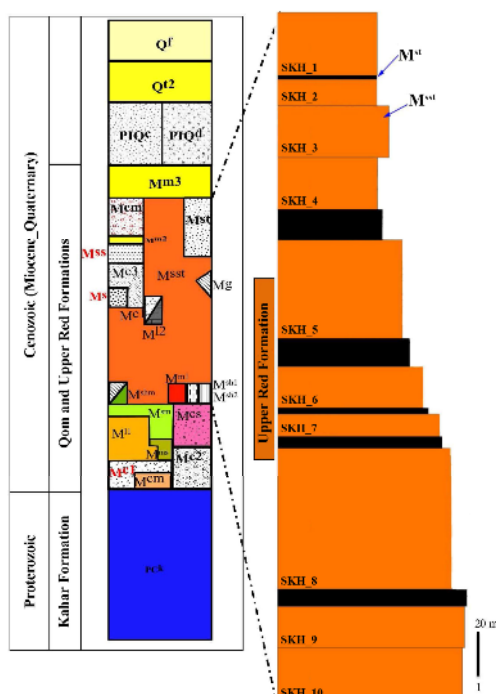
به منظور بررسی کانه‌زایی منطقه سرخه، تعداد ۸۰ نمونه از واحدهای ماسه‌سنگی و دایک قطع کننده آنها در یکی از ۳ نشانه معدنی موجود نمونه‌برداری گردید. به این منظور، تعداد ۱۲ مقطع نازک-صیقلی از واحد ماسه‌سنگی کانه‌زایی شده و ۲ مقطع نازک صیقلی از دایک لامپروفیری از نظر کانی‌شناسی و کانه‌نگاری بررسی شدند. همچنین، به منظور بررسی‌های زمین‌شیمیائی تعداد ۴ نمونه از ماسه‌سنگ‌های میزان کانه‌زایی شده به روش طیف سنجی فلئورسانس پرتوی اشعه ایکس (XRF) و ۱۰ نمونه به روش طیف‌سنجی جرمی-پلاسمای جفت شده القایی (ICP-MS) با دستگاه مدل Agilent series 4500 در آزمایشگاه‌های زرآما تجزیه گردیدند. آماده-سازی نمونه‌ها به روش انحلال اسیدی کامل (چهار اسید) با استفاده از مقدار مشخص اسیدهای هیدروکلریک، پرکلردریک، نیتریک و هیدروکلریدریک در لوله‌های تفلونی در آزمایشگاه‌های شرکت یاد شده انجام شد. همه نمونه‌ها در جعبه داغ در دمای ۲۲۰ درجه سانتی‌گراد به مدت چهار ساعت قرار گرفتند تا فرآیند هضم به طور کامل صورت گیرد.

### بحث و بررسی

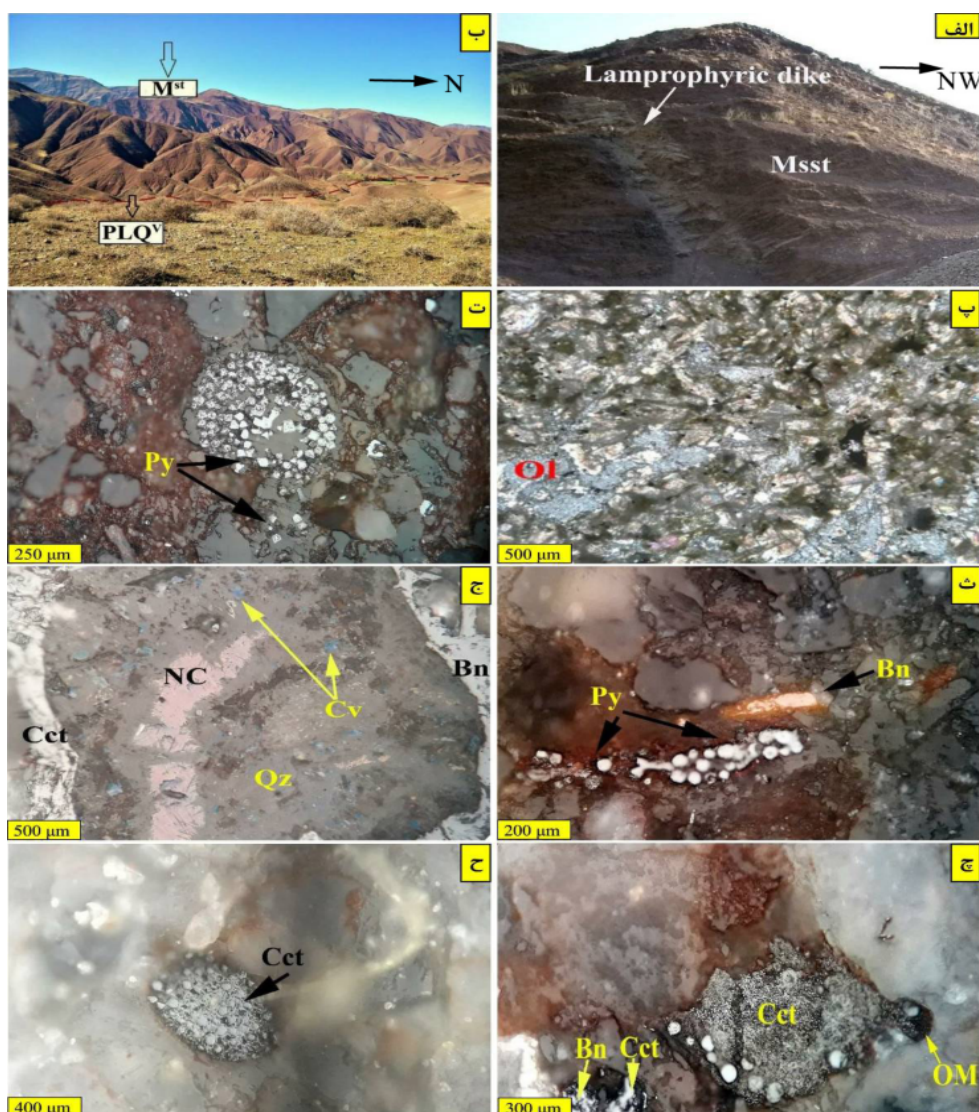
**زمین‌شناسی ناحیه‌ای و چینه‌شناسی منطقه‌ای**  
منطقه تسوج بخشی از پهنه ایران مرکزی [۱۲] و بخشی از زیر پهنه خوی-ماکو است [۱۳]. رخداد شکستگی قاره‌ای و باز شدن اقیانوس پالئوتیس با مجموعه مافیک میشو (کوه‌های میشو) در شمال‌غرب ایران نمود دارد [۱۴]. این کوه‌ها در



شکل ۱ جایگاه منطقه سرخه در نقشه زمین‌ساختاری ایران [۱۲] و بخشی از نقشه زمین‌شناسی تسویج در مقیاس ۱:۱۰۰۰۰۰ [۱۱].



شکل ۲ نمایی از ستون چینه‌شناسی عمومی میوسن در نقشه ۱:۱۰۰۰۰۰ و ستون چینه‌شناسی سازند سرخ بالایی در منطقه سرخه.



شکل ۳ تصاویر صحرایی و میکروسکوپی از نهشته مس سرخه (در نور قطبیده صفحه ای، PPL). الف- دایک تزریق شده در واحد سازند سرخ بالایی (واحد  $M^{sst}$ )، ب- گسترش سرخ بالایی (واحد  $M^{sst}$ ) و خروج گذازهای بازی در راستای خط گسل، پ- مقطع نازکی از دایک لامپروفیری با شکل دروغین الیون (Ol)، ت- پیریت فرامبوبیدی با بافت تمشکی در زمینه ماسه سنگ، ث- انباشت پیریت‌های فرامبوبیدی در فضای بین رسوبی، ج- انباشت کانی‌زایی سولفیدهای مس پیرامون کانی کوارتز در نمونه لامپروفیر، چ- کانی‌زایی مس و بافت جانشینی سولفیدهای مس به جای پیریت‌های درونزدی، ح- جانشینی پیریت همزاد توسط کالکوسیت (بافت تمشکی کالکوسیت). علامت اختصاری به کار رفته (Ol=الیون، Bn=بورنیت، Cct=کالکوسیت، Py=پیریت و Ccp=کالکوپیریت) برگرفته از مرجع [۱۸] هستند.

[۲۰]. بررسی‌های سنگنگاری نشان می‌دهد که دایک منطقه دربردارنده کانی‌های مافیک آمفیبول و کلینوپیروکسن با ترکیب لامپروفیر اسپسارتینی است که به شدت دگرسان شده است [۱۹] (شکل ۳ پ). در شکل گیری این لامپروفیر، دو نوع گوشته دگرنهاده و سنگ کره ای نقش داشته که میزان مشارکت گوشته سنگ کره ای در اثر گوشته نوع OIB بیشتر بوده است. این دایک در اثر کشش در جایگاه زمین ساخت

(۵) واحد دایک لامپروفیری هورنبلندهار آهکی قلیایی: این دایک به سن میوسن پایانی ( $11 \pm 0.95$ )، واحدهای میوسن (سازند سرخ بالایی) را قطع نموده است [۱۹] (شکل ۳ الف). این دایک در ارتباط با تکامل کوهزاد زاگرس و فرورانش پوسته اقیانوسی نئوتیس در شمال غرب ایران است که نشانگر مرحله پایانی بسته شدن نئوتیس تا برخورد قاره‌های است. لامپروفیرها می‌توانند عامل کانی‌زایی برخی عناصر فلزات پایه و طلا باشند

مرحله همزمان با سنگ زایی کمی پس از نهشت رسوب‌ها، پیریت تمشک مانند از ژل سولفیدی متبلور می‌شود [۲۴]. پس از نهشت پیریت مربوط به مرحله اولیه سنگ زایی و پیش از مرحله اصلی کانه‌زایی، نخستین فاز کانه‌زایی گرمابی (بورنیت، کالکوپیریت، تراهدریت و کالکوسیت) رخ داده که پیرامون کانه‌های دایک لامپروفیری و در ماسه‌سنگ، جانشین ماده آلی و پیریت درونزادی شده است (شکل‌های ۳ ج تا ۴). در ادامه مراحل کانه‌زایی طی سنگ زایی تدفینی، بورنیت جانشین کالکوپیریت و کالکوسیت جانشین بورنیت شده است (شکل‌های ۴ الف تا پ). در نتیجه حرکت‌های زمین ساختی یا وزن رسوب‌های بالایی، نوارهای ریزچین خورده کانه‌های سولفیدی چون کالکوسیت و بورنیت به درون رخ‌های مسکوویت نفوذ کرده و بافت رخی ایجاد کرده است (شکل ۴ ت). این ویژگی در کانسار جورامنتوی کانادا نیز دیده شده است [۲۵].

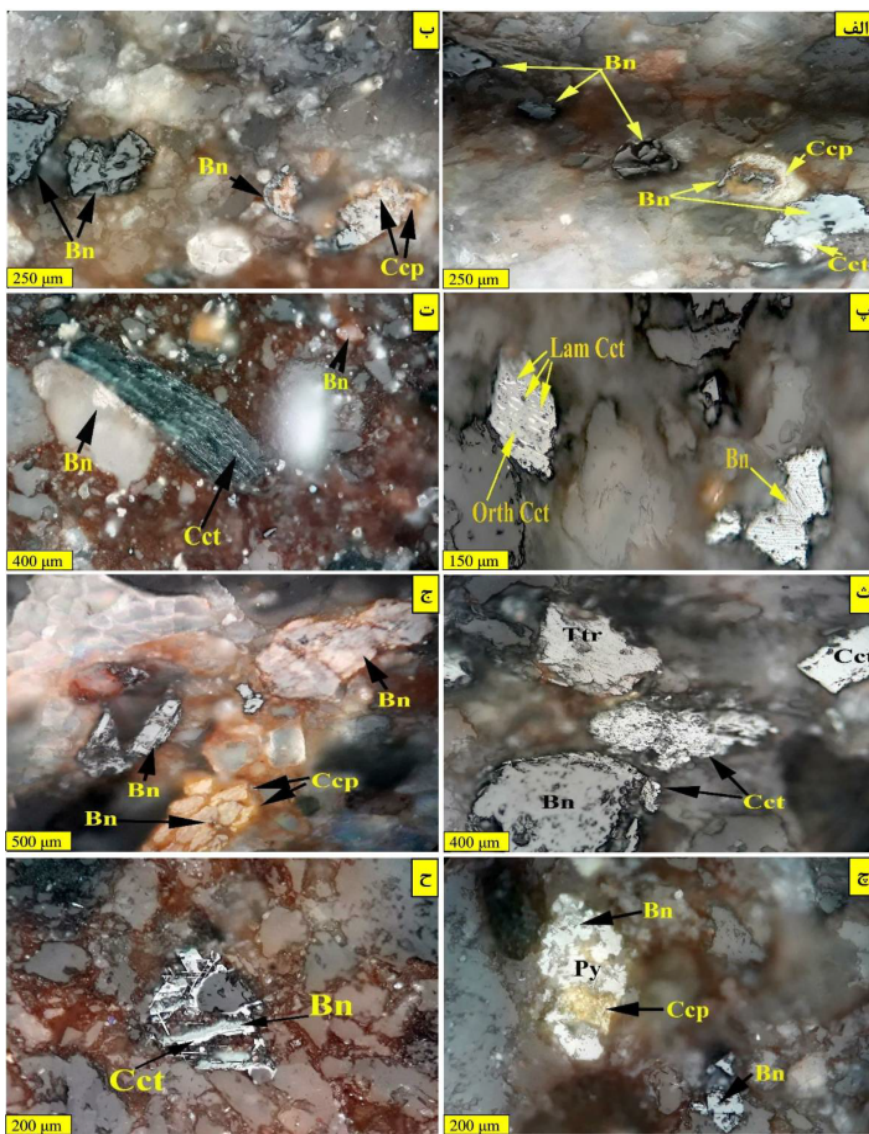
در گستره دمایی پیش‌بینی شده، کالکوسیت دو چندریخت دارد [۲۶]. کالکوسیت کم دما تا  $10^3$  درجه سانتی‌گراد پایدار است و در شرایط مختلف تشکیل می‌شود که عبارتند از ۱) از محلول‌های درونزاد با دمای زیر  $10^3$  درجه سانتی‌گراد، ۲) از تغییر شکل بلورهای کالکوسیت تشکیل شده در دمای پیش از  $10^3$  درجه سانتی‌گراد و ۳) از محلول‌های برونزاد [۲۶]. کالکوسیت دما بالا از محلول‌های درونزاد بین  $10^3$  تا  $435$  درجه سانتی‌گراد تشکیل می‌شود [۲۷]. تشکیل دو بافت‌ریز در کالکوسیت را می‌توان به این چندریختها ربط داد [۲۶]. بافت تیغه‌ای شامل مجموعه‌های عدسی شکل به طول  $200$  میکرومتر و عرض  $1$  تا  $10$  میکرومتر بوده که رنگ آنها از ناهمسانگردی بنشش مایل به آبی تا آبی کم رنگ متفاوت است (شکل ۴ پ). این بافت تیغه‌ای و الگوی بندبند موادی با صفحه‌های کانی‌ای (۱۰۰۰۱) وجود کالکوسیت ششگوشی پیشین را نشان می‌دهد که از آن به عنوان کالکوسیت دما بالا یاد می‌شود. ساختار کالکوسیت کم دما راستگوشی است. قطر بلورهای کالکوسیت در نمونه‌های مورد بررسی از  $10$  تا  $50$  میکرومتر متغیر است و ناهمسانگردی مشابهی دارند. کالکوسیت‌های کم دما و دما بالا در واحد ماسه‌سنگی  $M^{sst}$  در مقاطع نازک-صیقلی دیده می‌شود. با توجه به وجود بافت تیغه‌ای، می‌توان گفت که دست کم بخشی از بلورهای کالکوسیت دما بالا هستند و خاستگاه درونزاد دارند.

برخوردي پسا برخوردي و در محيط غيرکوهزايي جايگيري نموده است [۱۹]. تركيب اين دايک در نقشه زمین‌شناسي ۱:۱۰۰۰۰ تسوج، ديوريت معروفي شده است [۱۶]. سازند سرخ بالايی از مهم‌ترین واحدهای آواری ترشیری است که اجزای تخريبي آن از کوههای مرتفع تمامين شده و در حوضه‌های در حال فرونشت است درون کوهستانی نهشت شده‌اند. اين سازند در شرایط کم عمق و قاره‌ای گسترش يافته است [۲۱، ۲۲]. ضخامت سازند سرخ بالايی پيرامون بستان آباد - تسوج به  $1500$  متر و گاهی به بيش از  $2000$  متر می‌رسد. در منطقه سرخه، لايه‌های ماسه-سنگی سازند سرخ بالايی ميزبان کانه‌زایي مس هستند (شکل-های ۱ و ۳ الف، ب). شب اين لايه‌ها در بخش‌های مختلف منطقه از  $90$  تا  $20$  درجه متغير است. در بيشتر موارد، شب اندازه‌گيري شده در اين لايه‌ها در حدود  $35$  درجه است. اين ماسه‌سنگ‌ها دانه‌ریز بوده و غنی از کانه‌های اولیه مس هستند. در اين سنگ‌ها، لایه‌ای کربن‌دار با ضخامت‌های در حد چند سانتی‌متر به صورت میان لایه حضور دارند. بخش غربی رشته کوه می‌شود در شمال و جنوب به ترتیب توسط گسل شمالی می‌شود و گسل تسوج محدود هستند. دایک لامپروفیری درون سنگ‌های رسوبی سیلیسی آواری میوسن تزریق شده و سازند سرخ بالايی را در منطقه سرخه قطع نموده است. برونزد اين دايک عرضی در حد  $1$  متر و طولی حدود  $300$  متر دارد [۱۹].

### سنگ‌نگاری و کانه‌نگاری

کانه‌های آواری ماسه‌سنگ‌های مس دار شامل کوارتز، فلدسپار، زیرکن، مسکوویت و فسیل‌های گیاهی هستند. کلسیت و به مقدار جزئی دولومیت به شکل سیمان‌های درجازاد در زمینه ماسه‌سنگ‌ها وجود دارد. بررسی های سنگ‌نگاری نشان می‌دهند که کانه‌زایی گرمابی هیپوژن مس شامل کالکوپیریت، بورنیت، تراهدریت، کالکوسیت و کانه‌زایی برونزاد شامل کوولیت، ملاکیت، مس خالص، کوپریت و کمی آزویریت است. بافت‌های رایج قابل دیده در ماسه‌سنگ‌ها شامل پرکننده فضاهای خالی، دانه پراکننده (فراوانی کانی‌سولفیدی در بین دانه‌ها تخریبی) [۲۳]، جانشینی و ناامیختگی هستند.

پیریت به صورت فرامبوئیدی و بافت تمشکی (شکل‌های ۳ ت و ۴) به قطر از  $25$  میکرومتر تا  $1$  میلی‌متر در فضای بین کانه‌ها و بلورهای شکل‌دار اولیه در ماسه‌سنگ‌ها و در ارتباط با مواد آلی تشکیل شده است. در ذخایر مس نوع لایه سرخ، در



شکل ۴ تصاویر میکروسکوپی از نهشته مس سرخه (نور PPL): الف- بافت جانشینی بورنیت به جای کالکوپیریت و کالکوسیت به جای بورنیت در کنار بورنیت اولیه، ب- بافت جانشینی بورنیت به جای کالکوپیریت و بورنیت‌های بی‌شکل در زمینه ماسه‌سنگ، پ- چند ریختی کالکوسیت در زمینه ماسه‌سنگ (کالکوسیت لایه‌ای و راستگوشی)، ت- نفوذ سولفید مس کالکوسیت درون رخ کانی ورقه‌ای در نتیجه همپوشانی زمین ساختی، ث- بافت جانشینی بورنیت به جای کالکوپیریت در کنار بورنیت اولیه، ج- بافت جانشینی کالکوپیریت به جای پیریت و جانشینی بورنیت به جای کالکوپیریت، ح- بافت جانشینی صفحات رخی کالکوسیت به جای بورنیت، ح- بافت جانشینی کالکوسیت راستگوشی به جای بورنیت. علامت اختصاری به کار رفته (Ttr=تراهدریت، Cct=کالکوسیت لایه‌ای، Orth Cct=کالکوسیت لایه‌ای، Bn=بورنیت، Cep=Cpr=پیریت، Py=پیریت و کالکوپیریت) برگرفته از مرجع [۱۸] هستند.

کالکوپیریت توسط بورنیت و کالکوسیت جانشین شده است (شکل‌های ۴ الف و ب). بلورهای دانه‌پراکنده کالکوپیریت در ماسه‌سنگ‌های سرخه بیشتر موارد بی‌شکل بوده و گاهی اندازه آنها به بیش از ۱۰۰ میکرومتر می‌رسد.

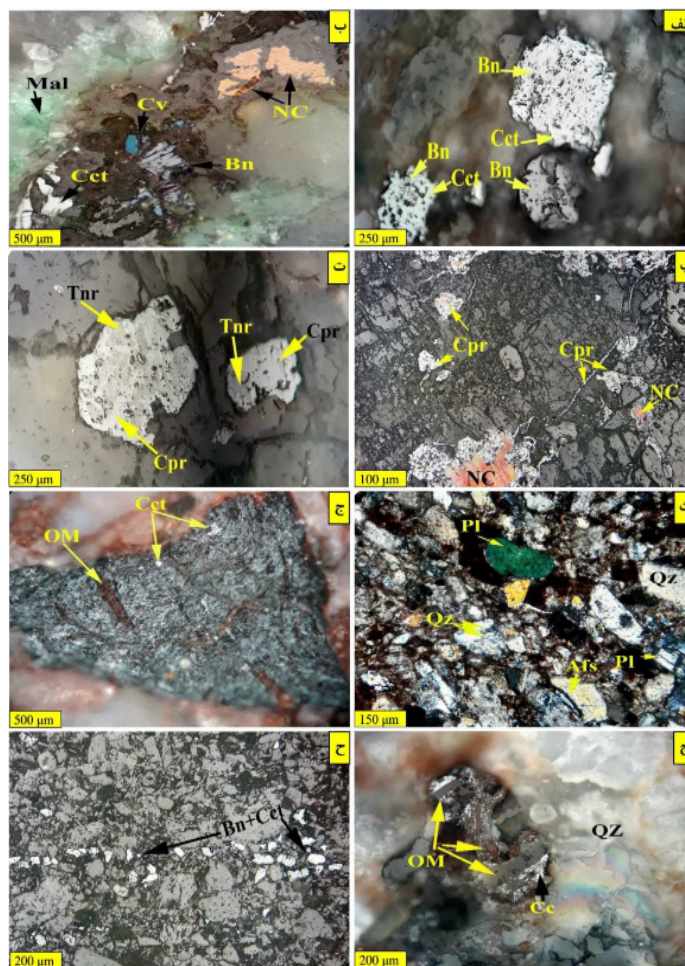
تیغه‌های درهم رشدی برآمده از برون رست کالکوپیریت و بورنیت (شکل ۴ ج) به صورت بلورهای اولیه بی‌شکل در مقاطع

کانه سولفوسالت تتراهدریت با فراوانی کمتر همراه با کانی‌های سولفیدی مانند بورنیت و کالکوپیریت یافت می‌شود (شکل ۴ ث) که اغلب به صورت هم‌رشد با بورنیت است. پایداری نسبی بیشتر تتراهدریت نسبت به سایر سولفوسالت‌ها و فازهای سولفیدی مس سبب شده است که این کانی در انواع نهشته‌های مس رایج باشد [۲۸]. در اغلب نمونه‌های مورد بررسی،

هستند (شکل‌های ۴ و ۵ الف). جانشینی توسط صفحات رخ نشانگر واکنش‌های بروزنزایی است [۳۲]، زیرا سیال داغ به احتمال بسیار فازهای اولیه چون کالکوپیریت را حل کرده و با تغییض مس موجب جانشینی فازهای اولیه با فاز غنی از مس چون کالکوسیت در طول درزهای شده است (شکل ۴ ث). طی فرآیند هوازدگی و بروزنزایی، کانه‌های ثانویه از جمله تنوریت، کوپریت، مس خالص، کوولیت و مالاکیت جانشین کانه‌های اولیه چون کالکوسیت شده‌اند که سومین فاز کانه‌زایی است (شکل‌های ۵ ب تا ت). مس خالص در پایان رخدادهای بروزنزایی تشکیل شده است.

دیده می‌شوند. این دو کانه از نظر همبودی بین پیریت و سولفیدهای مس چون کالکوسیت و کوولیت قرار دارند. در بسیاری از نهشته‌های دما پایین، کالکوپیریت و بورنیت به جای پیریت جانشین شده است [۲۹]. در منطقه سرخه نیز چنین جانشینی‌هایی دیده می‌شود (شکل ۴ چ). مجموعه غیر تعادلی پیریت- سولفید غنی از مس نیز شاهدی بر نهشت کانسنس‌ها در شرایط دما پایین بدون اثر کاتازن و دگرگونی است [۳۰].

دو نوع بافت ریز در مقاطع میکروسکوپی بین بورنیت و کالکوسیت دیده می‌شود که نتیجه جانشینی در راستای شکستگی‌ها (نوع ۱) و جانشینی توسط صفحات رخ (نوع ۲)



شکل ۵ تصاویر میکروسکوپی از نهشته مس سرخه (نور PPL): الف- بافت جانشینی صفحات رخی بورنیت توسط کالکوسیت، ب- دگرسانی بروزنزادی در نمونه دایک لامپروفیری، پ- دگرسانی بروزنزادی و جانشینی مس خالص با کوپریت، ت- جانشینی بروزنزادی مس خالص با کوپریت و تنوریت، ث- پلازیوکلارز دگرسان شده و خروج مس از شبکه بلوری آن، سیلیسی شدن (کوارتز رو رشدی و فلدسپارقلیایی) در زمینه ماسه‌سنگ، ج- جانشینی کالکوسیت در سلول‌های گیاهی، چ- جانشینی کالکوسیت به احتمال بسیار به جای قطعات چوب، ح- سیمان بین دانه‌های کانه‌های بورنیت و کالکوسیت با بافت نواری. علائم اختصاری به کار رفته: Bn=بورنیت، Cet=کالکوسیت، Cpr=کوپریت، Tnr=تنوریت، NC=مس خالص، Mal=مالاکیت، Ptl=پلازیوکلارز، Afs=فلدسپار قلیایی و Qz=کوارتز) برگرفته از مرجع [۱۸] هستند.

میکرون تا ۱ میلی‌متر دیده می‌شوند (شکل‌های ۳ ت، ث و ح). با توجه به بررسی های میکروسکوپی، پیریت‌های دانه‌ریز افshan و فرامبوئیدی ارتباط نزدیکی با ماده آلی دارند که نشان دهنده شرایط احیائی باکتریایی سولفات است. تصور می‌شود که هر دو نسل پیریت خاستگاه همزمان با درونزایی دارند و در مراحل اولیه، ماسه‌سنگ‌های سست همراه با ماده آلی تشکیل شده‌اند.

مرحله تشکیل سولفیدهای آهن- مس و سولفیدهای مس  
(مرحله اصلی، کانه‌زایی، مس)

کانه‌زایی مهم مس در منطقه سرخه شامل سولفیدهای افشا است. این سولفیدها، در سنگ‌های میزبان ماسه‌سنگی (به طور گستردگی) و شیلی (به طور محدود) دیده می‌شوند. بر اساس بررسی‌های میکروسکوپی بر ماسه‌سنگ‌ها، سه شکل مختلف کانه‌زایی مس در منطقه سرخه دیده می‌شوند که عبارتند از (۱) دگرسانی (حفره‌های انحلالی) فلدسپارها در به احتمال بسیار دایک لامپروفیری و گدازهای مافیک (شکل ۵ ث) و (۲) جانشینی سولفیدهای دربردارنده مس در ساختارهای سلولی فسیل‌های گیاهی (به احتمال بسیار قطعه‌های چوبی و یا ماده آلی) (شکل‌های ۵ ج و چ) به صورت سیمان بین‌دانه‌ای (دانه پراکنده) که فضای پیرامونی دانه‌های آواری را پر کرده است (شکل ۵ ح). بافت دانه‌پراکنده و بافت جانشینی رایج‌ترین بافت‌های موجود در نهشته مس سرخه هستند. سولفیدهای مس (کالکوپیریت، بورنیت، تتراهدریت و کالکوسیت) دسته (۱) در اثر فعالیت محلول‌های گرمابی تشکیل شده‌اند. این کانه‌ها مهم‌ترین سولفیدهای مسی هستند که در نهشته‌های گرمابی هیپوزن اولیه تشکیل می‌شوند [۳۴]. طی هوازدگی برونزاد، بسیاری دیگر از کانه‌های مس چون کوولیت، ملاکیت، آزوریت، کربیزوكولا و مس خالص تشکیل شده‌اند. کوولیت کانه‌ثانویه بوده و در نتیجه دگرسانی سایر سولفیدهای مس از جمله کالکوسیت دسته (۱) تشکیل شده است. شرایط احیایی نیز می‌تواند در تشکیل و جانشینی کانه‌های سولفیدی مس محیط مناسبی برای ترسیب آنها ایجاد کند [۳۵]. وجود چنین محیطی موجب جانشینی کالکوپیریت، بورنیت و کالکوسیت به جای فسیل‌های گیاهی و یا ماده آلی (شکل‌های ۳ ج، ۵ ج و چ) و جانشینی در پیریت (شکل‌های ۳ ح، ۴ چ) شده است. کالکوسیت دومین کانه فراوان پس از بورنیت بوده که طی دو نسل تشکیل شده است. کالکوسیت‌های نسل اول از نظر زایشی به بورنیت و کالکوپیریت شاهد دارند (زایش گرمابی؛ شکل ۷-

با توجه به مطالب بیان شده در بالا، مراحل کانی‌زایی و تشکیل کانسینگ در ذخیره مس، سرخه به شرح زیر است:

مرحله فرسایش و هوازدگی

یکی از رخدادهای زمین‌ساختی در ایران، فاز آتیکن (میوسن پسین- پلیوسن) است که نشانه‌های روشنی از چین خورده‌گی، دگرگشکلی و گاه فعالیت ماقمایی در پهنه‌های ساختاری ایران داشته است. فعالیت ماقمایی به نسبت شدیدی در اثر فاز آتیکن در آذربایجان رخ داده است که وجود سنگ‌های آتشفسانی در نوار آتشفسانی سرخه - زنجیره و در مناطق دیگر پوسته آذربایجان و ایران مرکزی از آن جمله است. این فعالیت ماقمایی در آذربایجان به صورت جریان گدازه، توده‌های کوچک گنبدهای و یا درون لایه‌های سرخ نوزا ظاهر دارد [۱۲]. در حوضه میوسن شمال و شمال غربی تسوج، رخنمون‌های سنگی پلیوسن شامل فعالیت‌های آتشفسانی دربردارنده گدازه‌های توده‌ای و جریانی و واحدهای آذرآواری (توف و آگلومرا) با سرشت شوشونیتی [۱۷]، گنبدهای داسیتی و آندزیتی [۳۳] هستند که در نقشه ۱:۱۰۰۰۰ زمین‌شناسی تسوج به سن پلیوکواترنر معرفی شده‌اند [۱۶]. فعالیت‌های گسل راستا لغز با کشش در بی‌این حرکت‌های فشاری، موجب خروج ماقماها و عناصر کانسینگ‌ساز از اعماق گوشه به سطح شده است. مقدار میانگین مس در این گدازه‌ها ۹۷ گرم در تن است [۱۷]. افزون بر این، فرسایش و هوازدگی این گدازه‌ها و دایک، منبع مناسبی برای عناصری چون مس و آهن بوده است. آزاد شدن مس و آهن به درون محلول‌ها سبب رخداد سرخ‌شدگی و تشکیل هماتیت در رسوب‌های لایه سرخ شده است. کانه‌های موجود در دایک لامپروفیری شامل سولفیدهای مس (کالکوسیت و بورنیت)، مس خالص، کوولیت و مالاکیت هستند که در زمینه سنگ به صورت پراکنده و اغلب در فضای پیرامون کانی‌ها توزیع شده‌اند (شکل ۵ ب).

## مرحله پیش از کانه‌زاوی در رسوب‌های تخریبی

بررسی های میکروسکوپی بیانگر وجود دو نسل پیریت در بخش های کانه زایی شده و اکسایشی ماسه سنگ های سرخ منطقه سرخه است که عبارتند از (۱) پیریت های درون زادی دانه ریز و (۲) پیریت های فرامبوئیدی. پیریت های دانه ریز و بی شکل معمولاً به طور پراکنده در اندازه های ۱۰ تا ۱۵ میکرون دیده می شوند (شکل ۳ ت). پیریت های فرامبوئیدی اغلب به صورت انبیاشته های لکه ای شکل با اندازه هایی متغیر از ۲۵

فشاری در کوههای مورو و میشو [۳۸] و همچنین ادامه آن در بخش غربی منطقه سرخه تا شمال غربی ایران است. دگرسانی درونزادی با حضور فراوان کانی‌های ثانویه مانند مالاکیت و نیز اکسایش سطحی به صورت آغشتگی واحدهای سنگی به اکسیدها و هیدروکسیدهای آهن و همچنین دگرسانی پیریت در مقاطع مورد بررسی آشکارا دیده می‌شود. دگرسانی درونزادی و اکسایش کانه‌های کالکوپیریت و بورنیت سبب تشکیل کانه‌های مالاکیت و کالکوپیت ثانویه شده است که به صورت جریان یافتگی مالاکیت در سطح کانی‌های دیگر قابل دیده است. در اثر فشار همه جانبی، کانی‌های ورقه‌ای چون مسکوویت و بیوتیت خمیده شده و کانی‌های غیرقابل انحلال مانند مواد آلی یا کانه سولفیدی در رخها یا میان این کانی‌ها پر شده‌اند [۲۵].

با توجه به موارد بیان شده و بررسی‌های کانه‌نگاری، می‌توان توالی همبودی این نهشته را در شش مرحله خلاصه کرد که عبارتند از (جدول ۱): ۱) مرحله شستشو و هوازدگی (۲) فعالیت گرمایی (شوراب‌های گرم شده در اثر شیب زمین-گرمایی) و مرحله همزمان با درونزایی (مرحله درونزایی رسویگداری، تهنشینی و تدفین کم‌عمق) [۳] مرحله درونزایی اولیه (عمق کم تا متوسط)، ۴) مرحله درونزایی پیشرفت (عمق تدفین زیاد)، ۵) اثر فعالیت‌های زمین ساختی و سرانجام ۶) دگرسانی برونزادی.

#### خاستگاه

معمولًاً تصور بر این است که خاستگاه مس در کانه‌زایی نوع مس چینه‌سان رویی مربوط به درونزایی اولیه منابع غیرآذرین غیرکوهزاد است. از نظر بسیاری از پژوهشگران، خاستگاه آن شسته شدن اندکی مس از جزئی لایه‌های سرخ و یا سنگ‌های آتش‌شناختی با ماهیت دوغانه همراه است [۳۹-۴۲]. سنگ‌های آتش‌شناختی در کنار طبقه‌های سرخ مورد بررسی و همچنین تزریق دایک لامپروفیری (مرحله نهایی فعالیت آتش‌شناختی) درون این لایه‌ها می‌تواند در تامین احتمالی مس و عنصر دیگر برای کانه‌زایی مس سرخه نقش داشته باشد. بنابراین، هوازدگی و فرسایش این سنگ‌ها در طولانی مدت موجب آزاد شدن مس موجود در شبکه کانی‌های مختلفی از جمله بیوتیت، پیروکسن، هورنبلند، فلدسپار، مسکوویت و مگنتیت به شکل مجموعه‌های فلزی-آلی قابل حل توسط محلول‌های اکسایشی به درون محیط‌های رویی در این حوضه‌ها شده است [۴۳]. بررسی-

های ۴ الف، ب، پ، ث و ج) و هر دو کانه به صورت سیمان بین دانه‌ای دیده می‌شوند (بافت نواری، شکل ۵ ج). این در حالی است که کالکوپیت‌های نسل دوم، فرآورده دگرسانی بورنیت توسط فرآیندهای برونزایی هستند (شکل‌های ۴ الف، ث، ح و ۵ الف).

کانه‌زایی مس با بافت بین‌دانه‌ای در منطقه مس سرخ، اغلب همراه با جانشینی فسیل‌های گیاهی (به احتمال بسیار قطعه‌های چوبی و مواد آلی) است. کانه‌زایی بورنیت نیز طی دو مرحله در منطقه رخ داده است که عبارتند از (۱) بورنیت با بافت دانه‌پراکنده در میان فضاهای خالی سنگ میزان که طی فعالیت‌های گرمایی تشکیل شده است و (۲) بورنیت برآمده از دگرسانی کالکوپیریت که اغلب به صورت جانشینی در لبه‌های بلورها و سطوح رخ بلورهای کالکوپیریت دیده می‌شود. بورنیت نوع اول به دو رنگ مایل به صورتی و بنفش در مقاطع دیده می‌شود. بورنیت مایل به صورتی (شکل‌های ۳ ج، ۴ الف، ث و ج) اغلب غنی از گوگرد بوده و بورنیت بنفش فقری از گوگرد و غنی از مس است (شکل‌های ۴ ب، ۵ الف و ب). در برخی نمونه‌ها، بورنیت‌های صورتی رنگ بافت درهم آمیختگی<sup>۱</sup> نشان می‌دهند (شکل‌های ۴ ج، ۵ الف). این حالت رخداد بورنیت می-تواند شکل نیمه‌پایدار "مس طبقه‌های سرخ" باشد که با تبلور سریع در دماهای کم تشکیل شده است [۳۶، ۳۷]. این شکل میانبار کالکوپیریت بیشتر در اثر تبلور سریع در دمای پایین در کانسارهای مس نوع لایه سرخ و گرم شدن در پی آن به احتمال بسیار طی دفن عمیق و یا تغییر شکل‌های زمین ساختی به وجود می‌آید که سبب ایجاد بافت ناآمیختگی می‌شود.

#### مرحله پس از تشکیل کانه‌ها

پس از تشکیل کانه‌ها در مرحله پیش در ماسه‌سنگ‌های سرخ رنگ میزان، انحلال فشاری کانی‌های سیلیکاتی موجب سیلیسی شدن (تشکیل کوارتز) و به مقدار بسیار کم فلدسپار پتابسیم شده است. این رخداد طی درونزایی پیشرفت (تدفین عمیق) حفظ شده و عاملی برای کاهش نفوذپذیری بوده است (شکل ۵ ث). درونزایی پیشرفت ممکن است همزمان با ادامه فعالیت‌های زمین ساختی گسل‌های موجود در منطقه رخ داده باشد (ایجاد درز و شکاف). شاهدی برای این فرضیه، حضور گسل‌های فعل در این ناحیه است. پیامدهای رخداد کوهزادی پاسادنین [۱۲] به شکل بالاًمدگی منطقه به حالت دوتایی

سنگی به ۲۹ گرم در تن می‌رسد. بررسی همبستگی پیرسون بین عناصر جزئی نشان می‌دهد که مس قوی‌ترین همبستگی را با عنصر Ag (۰،۹۷٪ S) و همبستگی متوسطی با Mo (۰،۹۹٪ Ag) دارد. همبستگی مثبت قوی بین Cu (۰،۶۷٪) و آرسنیک (۰،۶۷٪) دارد. همبستگی منفی مس از با Ag به احتمال بسیار به ایناشت نقره در کانه‌های مس از جمله کالکوسیت را اشاره دارد. قوی‌ترین همبستگی منفی را مس با عنصر Zn (۰،۸۳٪) و Cu (۰،۸۳٪ Ni) دارای همبستگی منفی (۰،۴۲٪) هستند که دلیل آن می‌تواند رفتار زمین-شیمیایی متفاوت این دو عنصر در دماهای پایین باشد [۴۶]. همچین، این همبستگی منفی نشان می‌دهد که Ni در سولفیدهای مس دما پایین چون کالکوسیت و بورنیت غنی از گوگرد تمرکز نیافته است [۴۶]. Ni با عنصر As نیز همبستگی منفی (۰،۶۸٪) دارد. بر پایه محاسبات انجام شده، قوی‌ترین همبستگی‌های مثبت را نشان می‌دهد (به ترتیب ۰،۹۷٪ S و ۰،۶۶٪ Ag). کمترین همبستگی را با Zn (۰،۸۳٪) دهد.

های میکروسکوپی نشان از بازتحرک مس دارند که می‌توان به جانشینی کانه‌های درونزاد در طول مرزها (به ویژه الگوی لبه-ای) توسط کالکوسیت و نقاط کالکوسیتی نامنظم اشاره کرد. مس خالص و ملاکیت نیز فرآورده‌های برونزایی هستند [۴۴]. در برخی مقاطع، کالکوسیت همراه با اکسیدها و هیدروکسیدهای آهن دیده می‌شود که نشانه تشکیل آنها طی فرآیند غنی‌شدگی برونزایی است.

زمین شیمی

زمین شیمی عناصر جزئی: بررسی های انجام شده نشان داده است که در کانسراهای مس رسوی، عیار متوسط مس ۱/۶ درصد است و ذخیره کانسنگ به ۱۶۰۰ میلیون تن می‌رسد [۴۵]. با توجه به ۱۰ نمونه بررسی شده از لایه‌های ماسه‌سنگی دربردارنده کانی زایی، مقدار مس در گستره ۲۳ گرم در تن تا ۲/۵ درصد وزنی (با مقدار میانگین ۰/۲۷ درصد وزنی) در تغییر است. مقدار عنصر روی دارای گستره حدود تغییرات ۱۶ تا ۹۳ گرم در تن است. پیشینه مقدار سرب در این لایه‌های ماسه-

**جدول ۱** مراحل تشکیل و توالی همبزایی کانه‌ها در ذخیره مس سرخه.

سرخه، به احتمال بسیار سنگ‌های آتشفشاری با سرشت شوشوونیتی به همراه دایک لامپروفیری تزریق شده درون این لایه‌های سرخ اثر به سزایی در ترکیب شیمیایی محلول‌های کانه‌ساز داشته‌اند.

**عناصر خاکی نادر:** داده‌های عناصر خاکی نادر (REE) ماسه-سنگ‌های سرخ مس‌دار سرخه نسبت به ترکیب کندریت [۵۰] و شیل آمریکای شمالی (NASC) [۵۱] بهنجار شده‌اند (شکل ۶). بر اساس این الگوها، نسبت‌های بالای عناصر خاکی نادر سبک به سنگین (LREE/HREE) و ناهنجاری مثبت Eu در نمونه‌های مس سرخه نشان دهنده دگرسانی فلدسپار توسط سیال‌های در حال حرکت است [۵۲]. پایین بودن مقادیر HREE‌ها نسبت به NASC حضور قابل ملاحظه فازهای کانیایی با مقادیر REE کم نظیر کوارتز در نمونه‌های مورد بررسی را نشان می‌دهد [۵۳] (شکل ۶ ب). رخداد ناهنجاری منفی Ce در الگوی توزیع REE‌های بهنجار شده به NASC دلیلی بر نقش ارزنده محلول‌های اکسایشی غنی از کلرید در تشکیل کانسنگ‌های مس سرخه است. [۴۳]. افزون بر این، نمونه‌های منطقه سرخه که از رخمنونهای سطحی برداشت شده‌اند دستخوش فرآیند دگرسانی برونزاد با ماهیت سیال‌های اکسایشی شده‌اند [۵۴]. رسوب‌های ناشی از قسمت‌های درونی کراتون و رسوب‌های نهشت شده حوضه کراتونی به شدت از نظر LREE‌ها غنی شده و عناصر خاکی نادر متوسط نظر MREE‌ها (سنگین HREE‌ها) شیب به نسبت کمی دارند که به احتمال بسیار منبع آذرین ناحیه را نشان می‌دهند [۵۵].

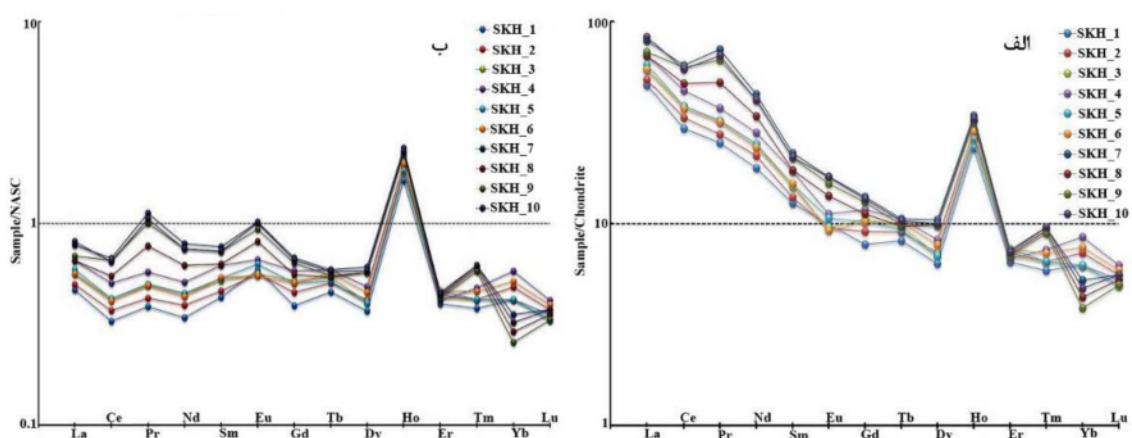
رخداد مس سرخه بخشی از کمربند کانه‌زایی مس با سنگ میزبان رویی شمال‌غرب ایران است که با مقادیر به نسبت بالای Cu, Ag, Hg, Zn و مقادیر بالا Ni, Co, As پهنه‌های کانه‌دار شناخته می‌شود (جدول ۲). ویژگی‌های زمین‌شیمیایی ذخیره مس سرخه شباهت به نهشته‌های مس نوع لایه سرخ دارد. تحرك یون  $\text{Fe}^{2+}$  با مقادیر چند گرم در تن توسط آب-های زیرزمینی رسوب‌های لایه سرخ عادی است و آنها می‌توانند سیال کانسنس‌ساز بالقوه‌ای باشند [۴۷, ۳۶, ۴۸]. لایه‌های سرخ با داشتن رنگدانه‌های همایتی و به عبارتی تامین یون  $\text{Fe}^{2+}$  می‌توانند نقش موثری در افزایش امکان انحلال مس داشته باشند. تحرك فلزات مختلف در لایه‌های سرخ وابسته به تغییر شیمی محلول‌ها بویژه درجه اسیدی (pH) و پتانسیل اکسایش-کاهش (Eh) است [۴۹, ۳۶]. از نظر زمین‌شیمیایی، ورود مس و نقره در دماهای پایین و کبالت در دماهای بالا درون سیال‌ها امکان‌پذیر است [۳۶]. انحلال عنصر روی وابسته به pH است، حال آنکه Eh نقش مهمی در انحلال نقره دارد  $\text{ZnSO}_4$  [۴۹] و در pH برابر یا کمتر از ۸، روی به شکل .Hg, Ag, Cu, Zn و مقادیر بالای Co و Ni (جدول ۳) نشان می‌دهد که سیال‌ها بسیار اکسایشی، غنی از کلرید و دمای پایین تا بالا، به احتمال بسیار مسؤول کانه‌زایی در ذخیره مس سرخه بوده‌اند. کانه‌زایی در نهشته مس رویی به ویژگی‌های منبع فلزات و تحرك نسبی فلزات این منبع بستگی دارد [۴۹]. با توجه به ضخامت به نسبت بسیار رسوب‌های لایه سرخ در ذخیره مس

جدول ۲ نتایج تجزیه XRF در چهار نمونه ماسه-سنگی مس‌دار در سرخه. bdl = زیر حد آشکارسازی.

|                                | حدآشکارسازی | SKH_1 | SKH_2 | SKH_3  | SKH_4 |
|--------------------------------|-------------|-------|-------|--------|-------|
| SiO <sub>2</sub> (wt%)         | ۰,۰۱        | ۴۵,۶۴ | ۴۴,۰۳ | ۴۷,۱۷  | ۴۸,۵۲ |
| Al <sub>2</sub> O <sub>3</sub> | ۰,۰۱        | ۱۴,۵۷ | ۱۲,۳۳ | ۱۴,۷۰  | ۱۳,۰۱ |
| Fe <sub>2</sub> O <sub>3</sub> | ۰,۰۱        | ۹,۴۰  | ۵,۲۶  | ۸,۰۴   | ۹,۶۲  |
| CaO                            | ۰,۰۱        | ۶,۶۲  | ۱۲,۴۵ | ۶,۴۹   | ۴,۱۹  |
| Na <sub>2</sub> O              | ۰,۰۱        | ۳,۳۶  | ۴,۲۸  | ۲,۸۵   | ۳,۴۲  |
| K <sub>2</sub> O               | ۰,۰۱        | ۳,۷۷  | bdl   | ۲,۴۱   | ۲,۲۲  |
| MgO                            | ۰,۰۱        | ۸,۲۹  | ۳,۱۸  | ۹,۳۸   | ۱۱,۱۳ |
| TiO <sub>2</sub>               | ۰,۰۱        | ۱,۲۴  | ۱,۰۳  | ۱,۳۱   | ۱,۱۶  |
| MnO                            | ۰,۰۱        | bdl   | bdl   | bdl    | bdl   |
| P <sub>2</sub> O <sub>5</sub>  | ۰,۰۱        | ۰,۶۶  | ۰,۴۴  | ۰,۷۲   | ۰,۶۴  |
| (L.O.I) مواد فرار (I)          | -           | ۶,۴۳  | ۹,۵۷  | ۶,۹۳   | ۵,۹۶  |
| مجموع                          | -           | ۹۹,۹۹ | ۹۲,۵۷ | ۱۰۰,۰۰ | ۹۹,۸۸ |

جدول ۳ نتایج تجزیه عناصر جزئی و عناصر خاکی نادر به روش ICP-MS و تجزیه پنج عنصر جزئی دیگر مشخص شده به روش AA [۱]. n.d. = تعیین نشده و  $\times$  = عناصری که به روش AA اندازه‌گیری شده‌اند.

|              | حد آشکارسازی | SKH_1  | SKH_2 | SKH_3  | SKH_4  | SKH_5 | SKH_6 | SKH_7 | SKH_8  | SKH_9 | SKH_10 |
|--------------|--------------|--------|-------|--------|--------|-------|-------|-------|--------|-------|--------|
| Ag (ppm)     | ۰.۱          | ۰.۳    | ۱۸۷   | ۰.۵    | ۰.۱    | n.d.  | n.d.  | n.d.  | ۰.۲    | n.d.  | ۰.۱    |
| As           | ۰.۱          | ۱۵۹    | ۲۰.۶  | ۱۲.۱   | ۱۱.۲   | ۶.۳   | ۲.۹   | ۲.۹   | ۴.۳    | ۷     | ۱۱.۸   |
| Co           | ۱            | ۲۵.۴   | ۱۴.۶  | ۲۰.۵   | ۲۰.۹   | ۲۷.۵  | ۲۳.۶  | ۳۱.۱  | ۲۹.۸   | ۹۲.۲  | ۳۰.۵   |
| Cu           | ۱            | ۵۰.۴   | ۲۵۳۳۸ | ۶۰.۱   | ۱۲۹    | ۲۳    | ۲۰.۴  | ۳۶    | ۴۰     | ۵۹    | ۴۸     |
| Mn           | ۵            | ۵۷۹    | ۶۵۰   | ۵۶۶    | ۵۴۴    | ۸۰.۱  | ۹۴۹   | ۱۰۱۱  | ۱۱۵۵   | ۱۰۵۴  | ۹۱۴    |
| Mo           | ۰.۱          | ۱.۶    | ۱.۶   | ۰.۳    | ۰.۲    | ۰.۳   | n.d.  | n.d.  | ۰.۲    | n.d.  | n.d.   |
| Ni           | ۱            | ۱۴۱    | ۱۱۹   | ۱۲۶    | ۱۲۴    | ۲۹۸   | ۲۳۳   | ۳۸۰   | ۳۴۹    | ۳۶۶   | ۳۷۲    |
| Pb           | ۱            | ۹      | ۶     | ۴      | ۶      | ۹     | ۶     | ۵     | ۷      | ۱۱    | ۲۹     |
| U            | ۰.۱          | ۱.۷    | ۲.۸   | ۱.۲    | ۱.۶    | ۱.۱   | ۱.۵   | ۱     | ۱.۲    | ۱.۰۲  | ۱.۲    |
| Zn           | ۱            | ۹۳     | ۱۶    | ۹۰     | ۵۹     | ۶۹    | ۶۳    | ۶۵    | ۷۲     | ۶۶    | ۷۱     |
| La (ppm)     | ۱            | ۲۵     | ۲۱    | ۲۲     | ۲۶     | ۱۵    | ۱۶    | ۱۸    | ۲۱     | ۱۹    | ۱۸     |
| Ce           | ۰.۵          | ۴۹     | ۴۰    | ۴۸     | ۴۷     | ۲۴    | ۲۷    | ۳۱    | ۳۷     | ۳۱    | ۳۰     |
| Pr           | ۰.۰۵         | ۸.۹    | ۶.۱   | ۷.۹    | ۸.۳    | ۳.۰.۷ | ۳.۳۷  | ۳.۹۳  | ۴.۵۵   | ۳.۹۷  | ۳.۸۸   |
| Nd           | ۰.۵          | ۲۶.۲   | ۲۰.۵  | ۲۴.۸   | ۲۴.۶   | ۱۱.۳  | ۱۳    | ۱۴.۹  | ۱۶.۹   | ۱۴.۹  | ۱۴.۳   |
| Sm           | ۰.۰۲         | ۴.۳۷   | ۳.۵۹  | ۴.۱۳   | ۴.۱۶   | ۲.۴۶  | ۲.۶۴  | ۲.۹۶  | ۳.۵۴   | ۳.۰۶  | ۳.۰۸   |
| Eu           | ۰.۱          | ۱.۲۶   | ۱.۰۱  | ۱.۱۶   | ۱.۲۵   | ۰.۷۳  | ۰.۷   | ۰.۷   | ۰.۸۲   | ۰.۷۸  | ۰.۶۸   |
| Gd           | ۰.۰۵         | ۳.۵۱   | ۲.۹   | ۲.۳    | ۲.۴۴   | ۲.۰۴  | ۲.۳۷  | ۲.۷۲  | ۳.۴    | ۲.۶۴  | ۲.۶۴   |
| Tb           | ۰.۱          | ۰.۵    | ۰.۴۶  | ۰.۴۷   | ۰.۴۹   | ۰.۳۹  | ۰.۴۳  | ۰.۴۶  | ۰.۵    | ۰.۴۴  | ۰.۴۸   |
| Dy           | ۰.۰۲         | ۲.۳۷   | ۳.۱۷  | ۳.۱۶   | ۲.۲۳   | ۲.۰۴  | ۲.۲۲  | ۲.۲۷  | ۲.۶۹   | ۲.۲۳  | ۲.۵۲   |
| Y            | ۰.۵          | ۱۰.۵   | ۱۰    | ۹.۳    | ۱۰.۱   | ۱۰.۲  | ۱۲.۴  | ۱۱.۹  | ۱۴.۵   | ۱۱.۷  | ۱۲.۶   |
| Ho           | ۰.۲          | ۲.۴۶   | ۲.۲۲  | ۲.۳    | ۲.۳۷   | ۱.۸۸  | ۱.۹۱  | ۱.۸۶  | ۲.۱۷   | ۱.۸۲  | ۲.۰۵   |
| Er           | ۰.۰۵         | ۱.۰۵   | ۱.۰۵  | ۱.۴۸   | ۱.۴۴   | ۱.۵۱  | ۱.۳۶  | ۱.۵   | ۱.۴۶   | ۱.۶۶  | ۱.۴۱   |
| Tm           | ۰.۱          | ۰.۳۱   | ۰.۳   | ۰.۲۹   | ۰.۳۱   | ۰.۱۹  | ۰.۲۱  | ۰.۲۱  | ۰.۲۴   | ۰.۲۱  | ۰.۲۳   |
| Yb           | ۰.۰۵         | ۱.۱    | ۰.۹   | ۰.۸    | ۱      | ۱.۳   | ۱.۵   | ۱.۳   | ۱.۸    | ۱.۳   | ۱.۶    |
| Lu           | ۰.۱          | ۰.۸    | ۰.۱۷  | ۰.۱۶   | ۰.۱۸   | ۰.۱۷  | ۰.۱۸  | ۰.۱۶  | ۰.۲    | ۰.۱۶  | ۰.۱۹   |
| Eu/Eu*       | -            | ۰.۹۸   | ۰.۹۵  | ۰.۹۶   | ۱.۰۱   | ۰.۹۹  | ۰.۷۲  | ۰.۷۵  | ۰.۷۶   | ۰.۸۴  | ۰.۸۵   |
| Ce/Ce*       | -            | ۰.۷۸   | ۰.۸۴  | ۰.۸۷   | ۰.۷۶   | ۰.۸۰  | ۰.۸۲  | ۰.۸۴  | ۰.۸۷   | ۰.۸۱  | ۰.۸۴   |
| LREE/HREE    | -            | ۴.۸۶   | ۴.۲۳  | ۵.۰۷   | ۴.۹۱   | ۲.۸۷  | ۲.۷۳  | ۳.۱۹  | ۳.۱۱   | ۳.۳۰  | ۲.۹۵   |
| $\Sigma$ REE | -            | ۱۳۸.۸۳ | ۱۱۳.۹ | ۱۲۹.۲۱ | ۱۳۲.۹۳ | ۷۶.۱۳ | ۸۵.۸۴ | ۹۴.۲۸ | ۱۱۰.۶۱ | ۹۴.۶۲ | ۹۳.۸۳  |
| DL           | R-1          | R-2    | R-3   | R-4    | R-5    | R-6   | R-7   | R-8   | R-9    | R-10  |        |
| Au* (ppb)    | ۵            | n.d.   | ۸     | ۱۰.۴   | ۱۰     | ۱۳    | ۱۷    | ۱۲    | ۱۲     | n.d.  | ۱۵۰.   |
| Hg* (ppm)    | ۰.۱          | n.d.   | n.d.  | n.d.   | n.d.   | n.d.  | n.d.  | n.d.  | n.d.   | ۱۵۰.  | n.d.   |
| Cu* (ppm)    | ۱            | ۲۰     | ۱۲۰   | ۶۱۳۰.  | ۹۹۹۰.  | ۹۸۷۰. | ۲۳۲۷۷ | ۵۹۶۶  | ۵۵۹    | ۲۵۰۰. | n.d.   |
| Zn* (ppm)    | ۱            | ۱۳     | ۳۰    | ۶۵۰.   | ۴۵۰.   | ۴۰۰.  | ۱۵۵   | ۹۲    | ۷۱     | n.d.  | n.d.   |
| Ag* (ppm)    | ۰.۱          | n.d.   | n.d.  | ۴۴     | ۳۷     | ۲۸    | ۲۰.۱۵ | ۵.۲۷  | ۵.۵۱   | n.d.  | n.d.   |



شکل ۶ الگوی توزیع عناصر خاکی نادر بهنجار شده به کندریت [۵۰] (الف) و ترکیب شیل آمریکای شمالی (NASC) [۵۱] (ب) در نمونه‌های ماسه‌سنگی مس‌دار سرخه.

نظرات و پیشنهادات سازنده داوران محترم مجله سپاسگزاری  
می‌نمایند.

#### مراجع

- [1] Aghazadeh M., Badrzade Z., "Sediment hosted Cu mineralization periods in Iran", 29<sup>th</sup> Meeting of Geological Sciences, Geological Survey of Iran (2010).
- [2] Sadati N., Yazdi M., Mao J., Behzadi M., Adabi M. H., Lingang X., Zhenyu C., Mokhtari A. A., "Sulfide mineral chemistry investigation of sediment hosted stratiform copper deposits, Nahand-Ivand area, NW Iran", Ore Geology Review 72 (2016) 760-776.
- [3] Azizi H., Hosseinzadeh M. R., Moayyed M., Siahcheshm K., "Geology and geochemistry of the sediment-hosted stratabound red bed-type Cu-Pb (Zn-Ag) mineralization in the Dozkand-Moshampa area, NW Zanjan, Iran", Journal of Mineralogy and Geochemistry 195 (2018) 123-143.
- [4] Bikdeli Z., Ebrahimi M., Nabatian G., Mokhtari M. A. A., "Ore mineralization, structure and texture of Cherhr-Abad sedimentary copper ore deposit, northwest of Zandjan area", Scientific Quarterly Journal, Geosciences 96 (2015) 249-262.
- [5] Enayati Kolaei S., Yazdi M., Mokhtari M. A. A., "Geology, mineralogy and genesis of stratiform Cu mineralization in the Tazeh-Kand area, northeast of Tabriz", Scientific Quarterly Journal, Geosciences 95 (2016) 195-208.
- [6] Azaraien H., Honarmand M., Shahriyari H., Noori M., "Consideration of the Kupferschiefer type Cu-Ag sedimentary metallogenesis in the north of Kerman, case study: Ravar Markeshe mine", The 25<sup>th</sup> Symposium of Geological survey of Iran (2007).
- [7] Mahdavi A., Rastad E., Hosseini M., "Geological, mineralogical, geochemical and genesis of Markesheh copper deposit, northwest of Ravar, Kerman", Unpublished MSc thesis, Kharazmi University (2009).
- [8] Hendi R., Hassani Pak A. A., "Identification of host rock source at sediment-hosted copper type mineralization in Tabas-Ravar basin based on geochemical and petrography studies", Quarterly Journal, Geosciences (2014) 211-220.

#### برداشت

مهم‌ترین نتایج به دست آمده از بررسی کانه‌زناسی و زمین-

شیمی ماسه‌سنگ‌های مس‌دار منطقه سرخه عبارتند از:

(۱) کانه‌زایی مس سرخه در لایه‌های سرخ ماسه‌سنگی سازنده سرخ فوچانی به سن میوسن رخ داده است. سنگ‌های میزبان در یک محیط زیرآبی و کم عمق تشکیل شده‌اند. الگوهای REE‌ها نشان می‌دهد که ماسه‌سنگ‌های مس دار سرخه برآمده از فرسایش سنگ‌های فلزی پوسته بالایی قاره‌ای هستند. افزون بر این، ناهنجاری منفی Ce بیانگر نقش مهم محلول‌های اکسایشی غنی از کلرید در تشکیل کانسنگ-های مس رسویی مورد بررسی است.

(۲) پهنه‌های کانه‌دار دارای ارتباط نزدیکی با مواد آلی (قطعه-های فسیل چوب) در لایه‌های تراوا هستند. تخلخل و تراوایی عامل اصلی جریان سیال‌ها و توزیع کانه‌زایی‌های مختلف است. طی درونزایی اولیه، سولفیدهای Cu و Cu-Fe چون بورنیت و کالکوسیت جانشین پیریت شده‌اند. این کانه‌ها بعدها طی فرایندهای برونزایی توسط کوولیت، کوپریت، مس خالص و مالاکیت جانشین شده‌اند.

(۳) وجود کانه‌های کالکوپیریت، بورنیت و حفظ شدگی خوب بافت مواد آلی، فراوانی کالکوسیت و بورنیت غنی از گوگرد، مقدار زیاد نقره و جیوه نشانگر تشکیل مس سرخه توسط محلول‌های گرمابی و درونزاد اولیه و محلول‌های کم دما هستند. وجود بافت‌های جانشینی و افسان دلیلی بر خاستگاه روزادی (گرمابی)-درونزادی رخداد مس سرخه هستند.

(۴) بیشترین ضریب همبستگی در میان عنصر غنی شده (Ag، As و Mo) وجود دارد که این امر به احتمال بسیار خاستگاه زمین‌شیمیایی مشترک این عناصر را نشان می‌دهد. بیشترین مقادیر ضریب همبستگی مس با عناصر گوگرد دوستی چون Ag است که این امر دلیلی بر انباست نقره در کانه‌های مس از جمله کالکوسیت است.

#### قدرتانی

پژوهندگان این مقاله از حمایتهای مالی معاونت پژوهشی دانشگاه ارومیه برخودار بوده‌اند، که به این وسیله نهایت سپاس و خود را از مسؤولین آن اعلام می‌دارند. نگارندگان همچنین از

- [20] Seifert T., "Metallogeny and petrogenesis of Lamprophyres in the Mid-European Variscides", IOS press (2008) 1-303.
- [21] Rahimzadeh F., 1994. "Treatise on the geology of Iran, Oligocene, Miocene, Pliocene", Geological Survey of Iran (1994) 1-311.
- [22] Amini, A., "Red coloring of the Upper Red Formation in central part of its basin, Central Zone Iran", Journal of Science of Islamic Republic of Iran 12 (2001) 145-156.
- [23] Dewaele S., Muchez P., Vets, J., Fernandez-Alonso M., Tack L., "Multiphase origin of the Cu-Co ore deposits in the western part of the Lufilian fold-and-thrust belt, Katanga (Democratic Republic of Congo)", Journal of African Earth Sciences 46 (2006) 455-469.
- [24] Love L. G., Brockley H., "Peripheral radial texture in framboids of poly-framboidal pyrite", Fortschritte der Mineralogie 50 (1973) 264-269.
- [25] Durieux C. G., Brown A. C., "Geological context, mineralization, and timing of the Juramento sediment-hosted stratiform copper-silver deposit, Salta district, northwestern Argentina", Mineralium Deposita 42 (2007) 879-889.
- [26] Ramdohr P., "The ore minerals and their intergrowths." Pergamon Press, Oxford (1969).
- [27] Posfai M., Buseck P., "Djurleite, digenite, and chalcocite; intergrowths and transformations." American Mineralogist 79 (1994) 308-315.
- [28] Seal R. R., Essene E. J., Kelly W. C., "Tetrahedrite and tennantite: Evaluation of thermodynamic data and phase equilibria". Canadian Mineralogist 28 (1990) 725-738.
- [29] Lurie A. M., "Alteration of ores by epigenesis and metamorphism at copper deposits hosted in red beds", Soviet Geology 289 (2011) 31-38.
- [30] Shumilov I. K., "Copper sulfide pseudomorphs after pytodetritus in Devonian sedimentary rocks of the Middle Timan region", Geology of Ore Deposits 50 (2008) 763-771.
- [31] Pekala M. M., Asael D., Butler I., Matthews A., Rickard D., "Experimental study of Cu isotope fractionation during the reaction of aqueous Cu(II) with Fe(II) sulphides at temperatures between 40 and 200 °C", Chemical Geology 289 (2011) 31-38.
- [9] Agazadeh M., Fard M., "Comprehensive assessment report of copper index of Chehregan, Tasuj," Minerals Insurance Fund of the Country (2006).
- [10] Agazadeh M., Fard M., "Comprehensive assessment report of copper index of Anakhaton, Tabriz," Minerals Insurance Fund of the Country (2010).
- [11] Naghizadeh R., Shiva A., Dori M., Riazi N., "Field survey of copper mineralization in Tasuj area of East Azarbaijan", 26<sup>th</sup> Conference of Earth Science, Geological Survey of Iran (2007).
- [12] Aghanabati A., "Geology of Iran", Geological Survey of Iran (2004) 1-619.
- [13] Nabavi M. H., "An introduction to the geology of Iran", Geological Survey of Iran (1976) 1-109.
- [14] Saccani E., Azimzadeh Z., Dilek Y., Jahangiri A., "Geochronology and petrology of the early carboniferous Misho mafic complex (NW Iran), and implications for the melt evolution of Paleo-Tethyan rifting in Western Cimmeria", Lithos (2013) 264-278.
- [15] Eftekharnejad J., Ghorashi M., Mehrpato M., Arshadi S., Zohrehbakhsh A., Bolourchi A., Saidi A., "Geological map of Tabriz-Poldasht", 1:250000 scale", Geological Survey of Iran, Tehran (1989).
- [16] Khodabandeh A. A., Aminifazl A., "1:100000 Geological Map of Tasuj", Geological Survey of Iran, Tehran (1993).
- [17] Amiri H., Amel N., Moayyed M., "Mineralogy, petrology and petrogenesis of Sorkhe-Zanjire volcanic band, west of Marand, NW Iran", 20th Symposium of Iranian Geological Society, Tehran University (2018).
- [18] Whitney D. L., Evans B. W., "Abbreviations for names of rock-forming minerals", American Mineralogist 95 (2010) 185-187.
- [19] Aghazadeh M., Prelevic D., Badrzdaeh Z., Braschi E., Van den Bogaard P., Conticelli S., "Geochemistry, Sr-Nd-Pb isotopes and geochronology of amphibole-and mica-bearing lamprophyres in northwestern Iran: Implications for mantle wedge heterogeneity in a paleo-subduction zone", Lithos 2016 (2015) 352-396.

- Pollington N., Barra F., "A new look at the geology of Zambian copper belt", In: Economic Geology 100<sup>th</sup> Anniversary 1905-2005; Hedenquist J. W., Thompson J. F. H., Goldfarb R. J., Richards J. P., Eds, Society of Economic Geologists, Inc, Littleton, USA (2005) 965-1000.
- [43] Walker T. R., "Formation of red beds in modern and ancient deserts", Geological Society of America, Bulletin 78 (1976) 281-282.
- [44] Munchez P., Corbella M., "Factors controlling the precipitation of copper and cobalt minerals in sediment-hosted ore deposits: Advances and restrictions", Journal of Geochemical Exploration 118 (2012) 38-46.
- [45] Cox D. P., Lindsey D. A., Singer D. A., Diggles M. F., "Sediment-hosted copper deposits of the world: deposit models and database." U.S. Geological Survey, Open-file report (2013), N. 03.
- [46] Dill H. G., "The chessboard classification scheme of mineral deposits: mineralogy and geology from aluminum to zirconium", Earth-Science Reviews 100 (2010) 1-42.
- [47] Cook N., Ciobanu C. L., Danyushevsky L. V., Gilbert S., "Minor and trace elements in bornite and associated Cu-(Fe)-sulfides: A LA-ICP-MS study", Geochimica et Cosmochimica Acta 75 (2011) 6473-6596.
- [48] Hitzman M. W., Kirkham R., Broughton D., Thorson J., Selley D., "The sediment hosted stratiform copper ore system", Economic Geology 100 (2005) 609-642.
- [49] Brown A. C., "Low-temperature sediment-hosted copper deposits", In: Earth Systems and Environmental Sciences, from Treatise on Geochemistry (Second Edition) 13 (2014) 251-271.
- [50] Boynton W. V., "Cosmochemistry of the rare earth elements: Meteorite studies", In: Henderson, P. (Ed.), Rare Earth Element GeochemistryDevelopments in Geochemistry 2 (1984) 63-114.
- [51] Gromet L. P., Dymek R. F., Haskin L. A., Korotev R. L., "The North American shale composit: its compilation, major and trace element characteristics", Geochimica et Cosmochimica Acta 48 (1984) 2469-2482.
- [52] Sawlowicz S., "REE and their relevance to the development of the Kupferschiefer copper [32] Schwartz G. M., "Significance of bornite-chalcocite microtextures", Economic Geology 34 (1939) 399-418.
- [33] Bazargani A., "Petrographic and petrology investigation on Tabakh dagh, Southwest of Marand, NW Iran", MSc thesis of Petrology", University of Tabriz (2014) 1-225.
- [34] Robb L., "Introduction to Ore-Forming Processes", Blackwell Publishing Oxford (2005).
- [35] Subias I., Fanlo I., Mateo J., "A model for the diagenetic formation of sandstone-hosted copper deposits in Tertiary sedimentary rocks, Aragon (NE Spain): S/C ratios and sulphur isotope systematic", Ore Geology Reviews 23 (2003) 55-70.
- [36] Brown A. C., "Zoning in the White Pine copper deposit, Ontonogan County, Michigan", Economic Geology 66 (1971) 543-573.
- [37] Rose A. W., "Mobility of copper and other heavy metals in sedimentary environments", Geological Associations Canadian Special Paper 36 (1989) 97-110.
- [38] Yousefi Babvil A., Moayyed M., Study and separation of local stresses around the North Misho Fault (Eastern Azerbaijan, NW Iran)", Quarterly Iranian Journal of Geology 19 (2011) 107-119.
- [39] Kirkham R. V., "Distribution, setting, and genesis of sediment-hosted stratiform copper deposits", In: Boyle R. W., Brown A. C., Jefferson C. W., Jowett E. C., Kirkham R. V., editors, "Sediment-hosted stratiform copper deposits", St. John's, Newfoundland, Geological association of Canada special paper 36 (1989) 3-38.
- [40] Hitzman M. W., Selley D., Bull S., "Formation of sedimentary rock-hosted stratiform copper deposits through earth history", Economic Geology 105 (2010) 627-639.
- [41] Borg G., Piestrzynski A., Bachmann G. H., Puttmann W., Walther S., Fieldler M., "An overview of the European Kupferschiefer deposits", In: Geology and genesis of major copper deposits and districts of the World—A tribute to Richard H. Sillitoe A; Special Publication No. 16; Hedenquist J. W., Harris M., Camus F., Eds; Society of Economic Geologists: Littleton, CO, USA (2012) 455-486.
- [42] Selley D., Broughton D., Scoot R., Hitzman M., Bull S., Large R., McGoldeick P., Croaker M.,

- [55] McLennan S. M., Hemming S., McDaniel D. K., Hanson G. N., "Geochemical approaches to sedimentation, provenance, and tectonics", In: Johnsson M. J., Basu A., eds., Processes controlling the composition of clastic sediments: Boulder, Colorado, Geological Society of America Special Paper 284 (1993) 21-40.
- [56] Rollinson H. R., "Using geochemical data: Evaluation, presentation, interpretation", Longman, U.K. (1993) 1-352.
- [57] Laux J. H., Lindenmayer Z. G., Teixeira J. B. G., Neto A. B., "Ore genesis at the Camaqua copper mine, a Neoproterozoic sediment-hosted deposit in southern Brazil", Ore Geology Reviews 26 (2005) 71-89.
- [58] deposit in Poland", Ore Geology Reviews 55 (2013) 176-186.